

Universidad de Costa Rica

Facultad de Ingeniería

Escuela de Ingeniería Eléctrica

IE0308 – Laboratorio Eléctrico I

II ciclo 2013

Reporte

Experimento X

Nombre1, Carné1

Nombre2, Carné2

Grupo 02

Profesor:

29 de marzo de 2014

Índice

1. Resumen	4
2. Objetivos	4
2.1. Objetivo general	4
2.2. Objetivos específicos	4
3. Lista de equipos	5
4. Lista de componentes	6
5. Resultados experimentales y análisis de resultados	7
6. Conclusiones y recomendaciones	8
A. Anexos	10
A.1. Transistor 2N2222A	10

Índice de figuras

Índice de tablas

1. Lista de equipos	5
2. Lista de componentes	6

1. Resumen

Resumen

En esta sección se describe el experimento y la forma en que se desarrolló de manera concisa, haciendo énfasis en los resultados y conclusiones más importantes en un máximo de 160 palabras.

Palabras clave: LateX, TINA, Filtros Pasivos

2. Objetivos

2.1. Objetivo general

Objetivo descrito en la Guía del Experimento.

2.2. Objetivos específicos

- Objetivos específicos propuestos por los estudiantes.
- Son exhaustivos y basados en la nota teórica, el procedimiento y los resultados esperados del experimento.

3. Lista de equipos

La lista de equipos utilizados en el experimento se muestra en la Tabla 1.

Tabla 1: Lista de equipos

Equipo	Sesión 1			Sesión 2		
	Marca	Modelo	Placa	Marca	Modelo	Placa
Fuente DC Osciloscopio digital Generador de señales Medidor Multifunción Protoboard						

4. Lista de componentes

La lista de componentes utilizados en el experimento se muestra en la Tabla 2.

Tabla 2: Lista de componentes

Componente	Sigla	Valor nominal	Valor medido	Tolerancia	Potencia
Resistor cerámico	R1	1 kΩ			0,25 W
Potenciómetro	Rp	5 kΩ			2 W
Capacitor electrolítico	C11	150 µF		-	-
Capacitor cerámico	C	100 nF		-	-
Diodo	1N4148				500 mW
Transistor BJT	2N2222A				1000 mW

5. Resultados experimentales y análisis de resultados

6. Conclusiones y recomendaciones

El formato recomendado para la bibliografía es el APA. El siguiente es un ejemplo:

Referencias

[Apuntes, 2008] <http://www.apuntesdeelectronica.com/componentes/transistor-igbt.htm> consultado el 12/05/2013.

[Boylestad, 1998] Robert L. Boylestad, Louis Nashelsky (1998). *Electronic Devices and Circuit Theory*. New Jersey: Pearson Prentice Hall, 7th Edition.

A. Anexos

Incluye información de las hojas del fabricante de los componentes a utilizar o cualquier otra información que se considere necesaria.

La siguiente es una forma de como adjuntar páginas de PDFs con las hojas de fabricante, pero hay muchas formas de como adjuntar los anexos que se consideren necesarios.

A.1. Transistor 2N2222A



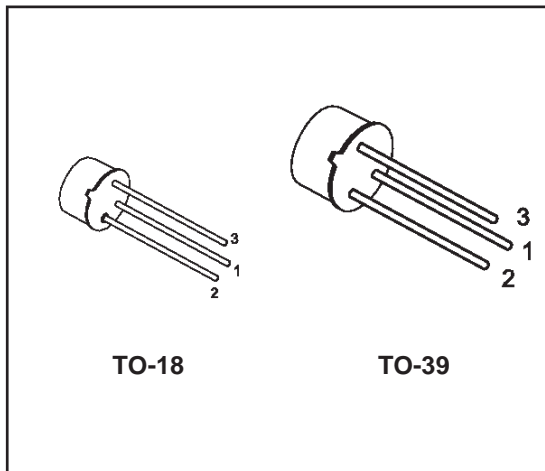
2N2219A
2N2222A

HIGH SPEED SWITCHES

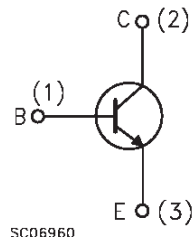
DESCRIPTION

The 2N2219A and 2N2222A are silicon planar epitaxial NPN transistors in Jedec TO-39 (for 2N2219A) and in Jedec TO-18 (for 2N2222A) metal case. They are designed for high speed switching application at collector current up to 500mA, and feature useful current gain over a wide range of collector current, low leakage currents and low saturation voltage.

2N2219A approved to CECC 50002-100,
2N2222A approved to CECC 50002-101
available on request.



INTERNAL SCHEMATIC DIAGRAM



SC06960

ABSOLUTE MAXIMUM RATINGS

Symbol	Parameter	Value	Unit
V_{CBO}	Collector-Base Voltage ($I_E = 0$)	75	V
V_{CEO}	Collector-Emitter Voltage ($I_B = 0$)	40	V
V_{EBO}	Emitter-Base Voltage ($I_C = 0$)	6	V
I_C	Collector Current	0.8	A
P_{tot}	Total Dissipation at $T_{amb} \leq 25^\circ\text{C}$ for 2N2219A for 2N2222A at $T_{case} \leq 25^\circ\text{C}$ for 2N2219A for 2N2222A	0.8 0.5 3 1.8	W W W W
T_{stg}	Storage Temperature	-65 to 200	$^\circ\text{C}$
T_j	Max. Operating Junction Temperature	175	$^\circ\text{C}$

2N2219A/2N2222A

THERMAL DATA

			TO-39	TO-18	
$R_{thj-case}$	Thermal Resistance Junction-Case	Max	50	83.3	$^{\circ}\text{C}/\text{W}$
$R_{thj-amb}$	Thermal Resistance Junction-Ambient	Max	187.5	300	$^{\circ}\text{C}/\text{W}$

ELECTRICAL CHARACTERISTICS ($T_{case} = 25^{\circ}\text{C}$ unless otherwise specified)

Symbol	Parameter	Test Conditions	Min.	Typ.	Max.	Unit
I_{CBO}	Collector Cut-off Current ($I_E = 0$)	$V_{CB} = 60 \text{ V}$ $V_{CB} = 60 \text{ V} \quad T_{case} = 150^{\circ}\text{C}$			10 10	nA μA
I_{CEX}	Collector Cut-off Current ($V_{BE} = -3\text{V}$)	$V_{CE} = 60 \text{ V}$			10	nA
I_{BEX}	Base Cut-off Current ($V_{BE} = -3\text{V}$)	$V_{CE} = 60 \text{ V}$			20	nA
I_{EBO}	Emitter Cut-off Current ($I_C = 0$)	$V_{EB} = 3 \text{ V}$			10	nA
$V_{(BR)CBO}*$	Collector-Base Breakdown Voltage ($I_E = 0$)	$I_C = 10 \mu\text{A}$	75			V
$V_{(BR)CEO}*$	Collector-Emitter Breakdown Voltage ($I_B = 0$)	$I_C = 10 \text{ mA}$	40			V
$V_{(BR)EBO}*$	Emitter-Base Breakdown Voltage ($I_C = 0$)	$I_E = 10 \mu\text{A}$	6			V
$V_{CE(sat)*}$	Collector-Emitter Saturation Voltage	$I_C = 150 \text{ mA} \quad I_B = 15 \text{ mA}$ $I_C = 500 \text{ mA} \quad I_B = 50 \text{ mA}$			0.3 1	V V
$V_{BE(sat)*}$	Base-Emitter Saturation Voltage	$I_C = 150 \text{ mA} \quad I_B = 15 \text{ mA}$ $I_C = 500 \text{ mA} \quad I_B = 50 \text{ mA}$	0.6		1.2 2	V V
$h_{FE}*$	DC Current Gain	$I_C = 0.1 \text{ mA} \quad V_{CE} = 10 \text{ V}$ $I_C = 1 \text{ mA} \quad V_{CE} = 10 \text{ V}$ $I_C = 10 \text{ mA} \quad V_{CE} = 10 \text{ V}$ $I_C = 150 \text{ mA} \quad V_{CE} = 10 \text{ V}$ $I_C = 500 \text{ mA} \quad V_{CE} = 10 \text{ V}$ $I_C = 150 \text{ mA} \quad V_{CE} = 1 \text{ V}$ $I_C = 10 \text{ mA} \quad V_{CE} = 10 \text{ V}$ $T_{amb} = -55^{\circ}\text{C}$	35 50 75 100 40 50 35	300		
$h_{fe}*$	Small Signal Current Gain	$I_C = 1 \text{ mA} \quad V_{CE} = 10 \text{ V} \quad f = 1\text{KHz}$ $I_C = 10 \text{ mA} \quad V_{CE} = 10 \text{ V} \quad f = 1\text{KHz}$	50 75		300 375	
f_T	Transition Frequency	$I_C = 20 \text{ mA} \quad V_{CE} = 20 \text{ V}$ $f = 100 \text{ MHz}$	300			MHz
C_{EBO}	Emitter Base Capacitance	$I_C = 0 \quad V_{EB} = 0.5 \text{ V} \quad f = 100\text{KHz}$			25	pF
C_{CBO}	Collector Base Capacitance	$I_E = 0 \quad V_{CB} = 10 \text{ V} \quad f = 100 \text{ KHz}$			8	pF
$R_{e(hie)}$	Real Part of Input Impedance	$I_C = 20 \text{ mA} \quad V_{CE} = 20 \text{ V}$ $f = 300\text{MHz}$			60	Ω

* Pulsed: Pulse duration = 300 μs , duty cycle $\leq 1\%$

ELECTRICAL CHARACTERISTICS (continued)

Symbol	Parameter	Test Conditions	Min.	Typ.	Max.	Unit
NF	Noise Figure	$I_C = 0.1 \text{ mA}$ $V_{CE} = 10 \text{ V}$ $f = 1\text{KHz}$ $R_g = 1\text{K}\Omega$		4		dB
h_{ie}	Input Impedance	$I_C = 1 \text{ mA}$ $V_{CE} = 10 \text{ V}$ $I_C = 10 \text{ mA}$ $V_{CE} = 10 \text{ V}$	2 0.25		8 1.25	$\text{k}\Omega$ $\text{k}\Omega$
h_{re}	Reverse Voltage Ratio	$I_C = 1 \text{ mA}$ $V_{CE} = 10 \text{ V}$ $I_C = 10 \text{ mA}$ $V_{CE} = 10 \text{ V}$			8 4	10^{-4} 10^{-4}
h_{oe}	Output Admittance	$I_C = 1 \text{ mA}$ $V_{CE} = 10 \text{ V}$ $I_C = 10 \text{ mA}$ $V_{CE} = 10 \text{ V}$	5 25		35 200	μS μS
t_d^{**}	Delay Time	$V_{CC} = 30 \text{ V}$ $I_C = 150 \text{ mA}$ $I_{B1} = 15 \text{ mA}$ $V_{BB} = -0.5 \text{ V}$			10	ns
t_r^{**}	Rise Time	$V_{CC} = 30 \text{ V}$ $I_C = 150 \text{ mA}$ $I_{B1} = 15 \text{ mA}$ $V_{BB} = -0.5 \text{ V}$			25	ns
t_s^{**}	Storage Time	$V_{CC} = 30 \text{ V}$ $I_C = 150 \text{ mA}$ $I_{B1} = -I_{B2} = 15 \text{ mA}$			225	ns
t_f^{**}	Fall Time	$V_{CC} = 30 \text{ V}$ $I_C = 150 \text{ mA}$ $I_{B1} = -I_{B2} = 15 \text{ mA}$			60	ns
r_{bb} , $C_{b'c}$	Feedback Time Constant	$I_C = 20 \text{ mA}$ $V_{CE} = 20 \text{ V}$ $f = 31.8\text{MHz}$			150	ps

* Pulsed: Pulse duration = 300 μs , duty cycle $\leq 1\%$

** See test circuit